

$$P_{ag} = \frac{11940}{1-0.104} = 12,437/5 W$$

ج: برآحتی داریه:

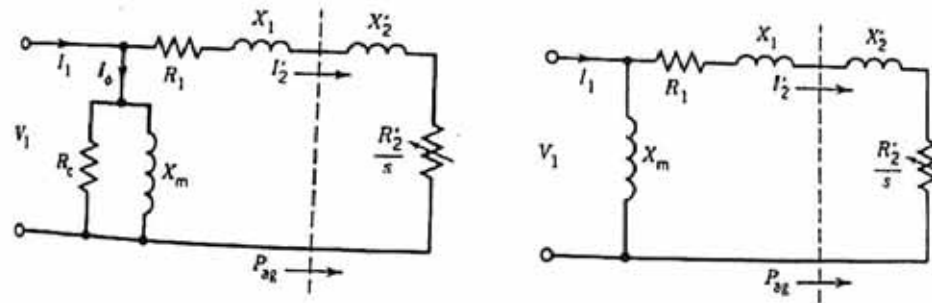
$$P_T = 10/04 \times 12,437/5 = 497/5 W$$

۴-۷-۵-معرفی چند مدار معادل تقریبی و ساده برای موتورهای القایی به فاز

مدار معادل نشان داده شده در شکل (۱۴-۵) یک مدل نسبتاً کامل و جامع است و برای هر فاز موتور در حالت ماندگار (مانا)^۱ صادق می‌باشد. این مدار در حقیقت یک مدار RL بوده که نسبتاً پیچیده نیز می‌باشد. لذا برای تحلیل موتورها، مدارهای ساده‌تری نیز پیشنهاد شده است.

۱- مدار معادل تقریبی

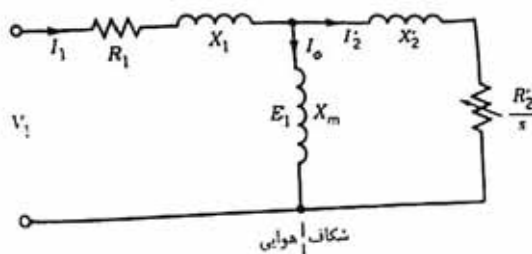
در شکل (۱۴-۵) اگر از افت ولتاژ در R_1 و X_1 چشم‌بوشی شود و V_1 و E_1 را تقریباً مساوی بگیریم، در این صورت می‌توان شاخه‌های موازی که به شاخه‌های مغناطیس کنندگی^۲ موسوم‌اند، را به ابتدای مدار معادل منتقل نمود و بد شکل (۱۴-۵) دست یافته. می‌بینیم تحلیل این مدار RL بسیار ساده است. باید دانست اگر فرکانس منبع تغذیه (ثابت باشند، تلفات هسته استاتور که توسط R_c مدل می‌شود، V_1 (ولتاژ تغذیه) و E_1 (فرکانس منبع تغذیه) ثابت باشند، سرعت موتور (سرعت عددی ثابت خواهد بود. در شرایط بی‌باری که موتور بار مکانیکی خاصی را تیپ چرخاند، سرعت موتور (سرعت محور) خیلی به سرعت سنکرون نزدیک است، لذا در شرایط بی‌باری لغزش بسیار کم و فرکانس رتور (نیز) نیز بسیار ناچیز است و با بالمال می‌توان از تلفات هسته رتور چشم‌بوشی نمود. در سرعت‌های کمتر (لغزش بیشتر) فرکانس رتور ω افزونتر می‌شود و تلفات هسته رتور زیاد می‌گردد. اما عمدتاً موتورهای لترش کم کار می‌کنند و لذا ω عددیست کوچک. به همین منظور در تحلیل موتورها عمدتاً از تلفات هسته رتور صرف نظر می‌گردد. گفتنی است در صورتیکه V_1 (ولتاژ تغذیه) و E_1 (فرکانس منبع تغذیه) ثابت باشند، مجموع تلفات هسته استاتور، تلفات تهیه و تلفات اصطکاک معمولاً عددی ثابت است و در سرعت‌های گوناگون آن چنان تغییر



(۱)

(۲)

شکل ۱۴-۵ مدارهای معادل تقریبی



شکل ۱۵-۵ مدار معادل پیشنهادی توسط IEEE

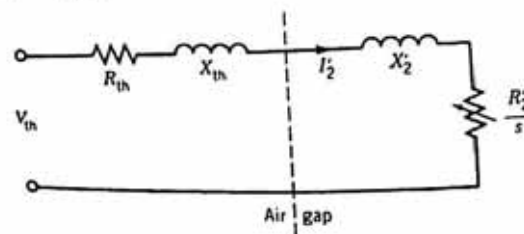
نمی‌کند. لذا می‌توان کل این سه تلفات (هسته، تهویه، اصطکاک) را یک کاسه کرده و به آن تلفات ثابت^۱ ماشین با تلفات چرخشی^۲ اطلاق می‌کنیم (P_{Rot}). در این صورت می‌توان R_2 را از مدار معادل حذف نمود و به شکل (۱۴-۵) رسید.

مدار معادل پیشنهادی IEEE

در موتورهای القابی سه فاز بخارطه وجود شکاف هوایی بین رotor و استاتور جریان تحریک (I_ϕ) زیاد است و نزدیک ۳۰ درصد جریان اسمی را شامل می‌شود. همچنین راکتانس نشی استاتور (X_2) نیز عددی نسبتاً باد است. در چنین شرایطی انجمن مهندسین برق و الکترونیک امریکا (IEEE) پیشنهاد می‌نماید که بردن آب‌ابتدای مدار معادل کار آنچنان پسندیده‌ای نیست و بهتر است از مدار معادل شکل (۱۵-۵) یاری گرفته بشد. مدار IEEE نیز از R_2 خبری نیست و تلفات هسته استاتور با تلفات تهویه و اصطکاک به صورت یک سه در نظر گرفته می‌شود.

۱۶-۵ مدار معادل تونن

سیزدهم میزان محاسبات در مدار معادل IEEE بهتر است از روش تونن استفاده گردد. به عبارت دیگر بجای ادء از V_1 , X_1 , R_1 , V_{th} , X_{th} , R_{th} , V_{th} , X_{th} می‌توان از V_{th} , X_{th} , R_{th} استفاده نمودار (شکل ۱۶-۵) باید دانست:



شکل ۱۶-۵ مدار معادل تونن

$$V_{th} = \frac{X_m}{[R_1 + (X_1 + X_m)^T]^{\frac{1}{2}} V_1} \quad (45-5)$$

اگر R_1^T باشد که معمولاً نزدیک است، داریم:

$$\begin{aligned} V_{th} &\approx \frac{X_m}{X_1 + X_m} V_1 \\ &= K_{th} V_1 \end{aligned} \quad (45-6) \quad (45-7)$$

امپدانس تونن به قرار زیر است:

$$\begin{aligned} Z_{th} &= \frac{jX_m(R_1 + jX_1)}{R_1 + j(X_1 + X_m)} \\ &= R_{th} + jX_{th} \end{aligned}$$

اگر X_1^T باشد، داریم:

$$\begin{aligned} R_{th} &\approx \left(\frac{X_m}{X_1 + X_m} \right)^T R_1 \\ &= K_{th}^T R_1 \end{aligned} \quad (46-5) \quad (46-6)$$

اما معمولاً X_m^T است. پس:

$$X_{th} = X_1 \quad (47-5)$$

پس به طور کلی می‌توان برای موتورهای القایی سه فاز مدل‌های متفاوتی ارائه داد و باید دانست این مدل‌ها را هر فاز^۱ موتور معتبر است. این مدل‌ها که در حالت ماندگار (مانا) معتبراند به قرار زیراند:

الف: مدل دقیق یا مدل T (شکل ۵ و ۵-۵).

ب: مدل تقریبی یا مدل L (شکل ۱ و ۵-۶).

ج: مدل تقریبی یا مدل L ساده (شکل ۲ و ۵-۷).

د: مدل $IEEE$ (شکل ۱۵-۵).

ه: مدل تونن مربوط به مدل $IEEE$ (شکل ۱۶-۵).

۸-۵- آزمایش‌های بی‌باری و رتور قفل شده جهت تعیین پارامترهای موتور القایی سه فاز

پارامترهای مدار معادل موتور القایی سه فاز از قبیل R_c , X_m , X_1 , X_2 , R_1 , R_2 از آزمایش‌های^۲:

حاصل می‌شوند:

الف: آزمایش بی‌باری^۳ (NLT)

ب: آزمایش رتور قفل شده^۴ یا رتور مسدود شده^۴ (BRT یا LRT)

ج: آزمایش DC ^۵ بروی سیم پیچ استاتور.

آزمایش بی‌باری (NLT) در موتورهای القایی شبیه آزمایش بی‌باری یا مدار باز در ترانسفورماتور داشته^۶.

این آزمایش می‌توان به اطلاعاتی درباره جریا تحریک (I_m) در موتور و تلفات چرخشی (P_{Rot}) بی‌برد. در این آزمایش استاتور به شبکه‌ای با ولتاژ فرکانس اسمی وصل می‌شود و هیچ گونه بار مکانیکی به محور اعمال نمی‌شود. در این صورت توان ورودی به موتور مجموع تلفات هسته استاتور، تلفات تپویه و اصطکاک (P_{Rot}) و تلفات می‌رخورد است. در بی‌باری تلفات می‌رخورد ناجیز است (چرا؟). لذا در بی‌باری توان ورودی معادل مجموع تلفات می‌استاتور و P_{Rot} است. P_{Rot} تلفات چرخشی موتور بوده و به قرار زیر است:

$$P_{Rot} = \text{تلفات هسته استاتور} + \text{تلفات اصطکاک و تهویه}$$

پس بالتجام آزمایش بی‌باری می‌توان به P_{Rot} بی‌برد. ما P_{Rot} را در تمامی شرایط بارداری معادل P_{RM} در شرایط بی‌باری در نظر می‌گیریم و به آن تلفات ثابت ماشین^۱ نیز اطلاق می‌کنیم.

از آزمایش رتور قفل شده که مشابه آزمایش اتصال کوتاه در ترانسفورماتور است، می‌توان به بسیاری از پالس‌های موتور بی‌برد. در این آزمایش رتور را قفل یا مسدود می‌کنیم تا نظرخواه. به استاتور باید ولتاژ اعمال گردد بنحوی که شرایط کار عادی رتور از قبیل جریان و فرکانس فراهم شود. فی‌المثل در شرایط کار عادی انتظار داریم که جریان و فرکانس رتور کم باشد. لذا باید به استاتور ولتاژ کمی اعمال شود تا جریان کمی می‌خواهیم فرکانس رتور کم باشد، لذا فرکانس منبع تغذیه استاتور نیز باید نسبت به فرکانس اسمی کاهش باید. طبق استاندارد IEEE فرکانس منبع تغذیه در این آزمایش ۲۵ درصد فرکانس اسمی است. در این آزمایش می‌توان به راکتانس نشتی ماشین بی‌برد. از آنجایی که این راکتانس‌ها در فرکانس اسمی حاصل نمی‌شود، لذا بین از به دست آوردن آنها باید با یک تناسب ساده، مقدار راکتانس‌ها را در فرکانس اسمی (۱) حساب نمود. نکته ایست در ماشین‌های با قدرت کمتر از ۲۰ اسب بخار اثر فرکانس در آزمایش رتور قفل شده انجان نسبید نیست و می‌توان این آزمایش را با فرکانس اسمی انجام داد.

چهت بیدا کردن مقاومت استاتور (R_1) از آزمایش DC که معرف خوانندگان عزیز است استفاده می‌شود. ذکر یک مثال موضوع را بیشتر روشن می‌کند.

مثال ۳-۵

یک موتور القابی سه فاز قفس سنجابی با مشخصات زیر مفروض است:

$$(خط - خط) ولت ۲۲۰۰ = ولتاژ اسمی$$

$$\text{اسب بخار } ۶۰ = \text{توان اسمی}$$

$$\text{هر تر } ۶۰ = \text{فرکانس اسمی}$$

$$۶ = \text{تعداد قطب‌ها}$$

۱- نتایج آزمایش بی‌باری به قرار زیر است:

$$(خط - خط) ولت ۲۲۰۰ = ولتاژ منبع تغذیه$$

$$\text{هر تر } ۶۰ = \text{فرکانس منبع تغذیه}$$

آمپر ۴/۵ = جریان خط^۱

وات ۱۶۰۰ = توان ورودی^۲ به موتور

۳- نتایج آزمایش رتور قفل شده بشرح زیر است

هرتز ۱۵ = فرکانس منبع تغذیه

(خط - خط) ولت ۲۷۰ = ولتاژ منبع

آمپر ۲۵ = جریان خط

وات ۹۰۰۰ = توان ورودی به موتور

۴- طبق آزمایش DC مقدار متوسط مقاومت هر فاز استاتور به قرار زیر است:

$$R_1 = ۲/۸\Omega$$

الف: تلفات چرخشی (P_{Rot}) را در شرایط بی‌باری حساب کنید.

ب: پارامترهای مدار IEEE (شکل ۱۵-۵) را به دست آورید.

ج: پارامترهای مدار تونن (شکل ۱۶-۵) را به دست آورید.

حل

الف: طبق آزمایش بی‌باری توان ورودی به ماشین به قرار زیر است:

$$P_{NL} = ۱۶۰۰W$$

لذا P_{Rot} به قرار زیر است:

$$\begin{aligned} P_{Rot} &= P_{NL} - ۲I_1^2 R_1 \\ &= ۱۶۰۰ - ۲ \times ۴/۵^2 \times ۲/۸ \\ &= ۱۴۲۹/۹ W \end{aligned}$$

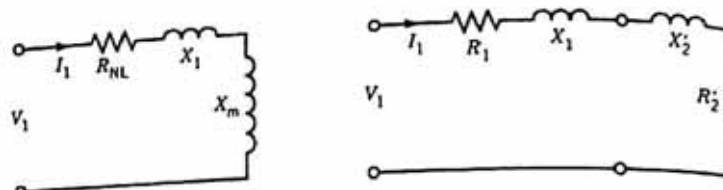
تلفات چرخشی ماشین است P_{Rot}

ب: اکنون مدار IEEE (شکل ۱۵-۵) را در نظر می‌گیریم، در شرایط بی‌باری لغزش بسیار کوچک است و لذا R'_1/S عددی بزرگ می‌باشد. لذا در مدل IEEE امپدانس معادل دو شاخه jX_m و $R'_1/S+jX'_m$ تقریباً همان jX_m خواهد بود (چرا؟). پس مدار معادل IEEE در حالت بی‌باری مطابق شکل (توضیحات ۳-۵) می‌شود با توجه به این شکل در حالت بی‌باری می‌توان گفت:

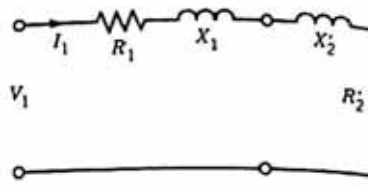
$$V_1 = \frac{۲۲۰۰}{\sqrt{۳}} = ۱۲۷۰/۲ V/phases$$

$$Z_{NL} = \frac{V_1}{I_1} = \frac{۱۲۷۰/۲}{۴/۵} = ۲۸۲/۲۷ \Omega$$

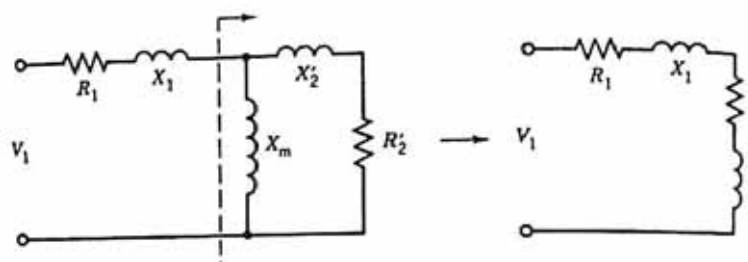
$$R_{NL} = \frac{P_{NL}}{۲I_1^2} = \frac{۱۶۰۰}{۲ \times ۴/۵^2} = ۲۶/۳۴ \Omega$$



مدار معادل می‌باری براساس شکل ۱۵-۵ (۱)



مدار معادل در حالت رتور قفل شده (۲)
براساس شکل ۱۵-۵



مدار معادل در حالت رتور قفل شده جهت بهبود مدار R2' (۳)

شکل ت و ۳-۵

$$\begin{aligned} X_{NL} &= (Z_{NL}^T - R_{NL}^T)^{1/2} \\ &= (282/27^T - 26/34^T)^{1/2} \\ &= 281/\Omega \end{aligned}$$

بن:

$$X_1 + X_m = X_{NL} = 281/\Omega$$

ازمایش رتور قفل شده با توجه به مدل IEEE دو شاخه R'_T و jX'_m با هم موازی گشته و می‌دانیم
اًست. در این حالت معمولاً داریم:

$$|X_m| >> |R'_T + jX'_T|$$

بن در این آزمایش می‌توان از شاخه X_m صرف نظر کرد و به مدار شکل (ت و ۲ و ۳-۵) رسید. با توجه به
لين شکل داریم:

$$\begin{aligned} R_{BL} &= \frac{P_{BL}}{2I_1^T} \\ &= \frac{9000}{2 \times 25^T} = 4/\Omega \Omega \end{aligned}$$

$$R'_T = R_{BL} - R_1 = 4/\Omega - 2/\Omega = 2\Omega$$

در فرکانس ۱۵ هرتز داریم:

$$Z_{BL} = \frac{V_1}{I_1} = \frac{۲۷۰}{\sqrt{۳} \times ۲۵} = ۶/۲۴ \Omega$$

$$X_{BL} = (۶/۲۴)^2 - ۴/۸^2 = ۳/۹۸ \Omega$$

در فرکانس ۶۰ هرتز داریم:

$$X_{BL} = ۳/۹۸ \times \frac{۶۰}{۱۰} = ۱۵/۹۲ \Omega$$

$$X_{BL} = X_1 + X'_\gamma$$

با تقریب خوب داریم:

$$X_1 = X'_\gamma = \frac{۱۵/۹۲}{۲} = ۷/۹۶ \Omega \quad (\text{در فرکانس } 60)$$

پس:

$$X_m = ۲۸۱/۰ - ۷/۹۶ = ۲۷۳/۰۴ \Omega$$

مقاومت رتور (R'_γ) نقش مهمی در عملکرد موتور بازی می‌کند. IEEE نحوه پیدا کردن دقیق R'_γ را ابن چنین توصیه می‌کند.

مقاومت سیستم در حالت رتور قفل شده (R_{BL}) از مجموع R_1 و یک مقاومت دیگر به نام R حاصل می‌شود. R مقاومت معادل دو شاخه jX_m و $R'_\gamma + jX'_\gamma$ است (شکل ت و ۳-۵). پس:

$$R = \frac{X_m}{R'_\gamma + (X'_\gamma + X_m)} R'_\gamma$$

اما عمدتاً $X'_\gamma + X_m >> R'_\gamma$ است. پس:

$$R \approx \left(\frac{X_m}{X'_\gamma + X_m} \right)^\gamma R'_\gamma$$

$$R'_\gamma = \left(\frac{X'_\gamma + X_m}{X_m} \right)^\gamma R$$

اما:

$$R = R_{BL} - R_1 = ۴/\Lambda - ۲/\Lambda = ۲\Omega$$

پس:

$$R'_\gamma = \left(\frac{۷/۹۶ + ۲۷۳/۰۴}{۲۷۳/۰۴} \right)^\gamma \times ۲ = ۲/۱۲ \Omega$$

از معادله (۳۵-۵) داریم:

$$V_{th} = \frac{273/0.4}{7/96 + 273/0.4} V_1$$

$$= 0.97 V_1$$

از اینجا (۴۶-۵) داریم:

$$R_{th} = 0.97 R_1 = 0.97 \times 2/8 = 2/63 \Omega$$

از اینجا (۴۷-۵) داریم:

$$X_{th} = X_1 = 7/96 \Omega$$

۱- مشخصه‌های موتورهای القایی سه فاز

دیگر قبلاً راجع به مدار معادل موتور القایی سه فاز بحث کردیم. این مدار معادل ماراپاری می‌دهد تا به مشخصه‌های ماشین بپریم. فی المثل می‌توان با توجه به مدار معادل در حالت مانا (ماندگار) به بازده^۱ پیوست: خوبی تو انداز^۲، گشتاور راه انداز^۳، گشتاور ماکزیمم^۴ (بیشینه) که به گشتاور پرتابگاهی^۵ موسوم است و بجزی از مشخصه‌های دیگر دست یابیم. گشتاور مکانیکی حاصله^۶ توسط هر فاز موتور این چنین به دست

$$P_{mech} = T_{mech} \omega_{mech} = I_r^r \frac{R_r}{s} (1-s) \quad (۴۸-۵)$$

$$\omega_{mech} = \frac{\gamma_{RL}}{c_0} \quad (۴۹-۵)$$

آبروت موتور (محور) بر حسب دور در دقیقه (rpm) است. رابطه سرعت مکانیکی (سرعت چرخش) با سرعت سکویی به قرار زیر است (چرا؟).

$$\begin{aligned} \omega_{mech} &= (1-s)\omega_{syn} \\ &= \frac{n_{syn}}{c_0} 2\pi(1-s) \end{aligned} \quad (۵۰-۵)$$

پس داشت:

$$\omega_{syn} = \frac{120f}{p\sigma} \times 2\pi = \frac{4\pi f_1}{c} \quad (۵۱-۵)$$

از اینجا (۴۰-۵)، (۴۸-۵) و (۴۹-۵) داریم:

$$T_{mech} \omega_{syn} = I_r^r \frac{R_r}{s} = P_{ng} \quad (۵۲-۵)$$



$$T_{mech} = \frac{1}{\omega_{syn}} P_{ag} \quad (52-5)$$

$$= \frac{1}{\omega_{syn}} I_{\tau}^{\tau} \frac{R_{\tau}}{s} \quad (52-5,1)$$

$$= \frac{1}{\omega_{syn}} I_{\tau}^{\tau} \frac{R'_{\tau}}{s} \quad (52-5)$$

از مدار معادل تونن (شکل ۱۶-۵) و معادله (۵۲-۵) داریم:

$$T_{mech} = \frac{1}{\omega_{syn}} \frac{V_{th}^{\tau}}{(R_{th} + R'_{\tau}/s)^{\tau} + (X_{th} + X'_{\tau})^{\tau}} \frac{R'_{\tau}}{s} \quad (54-5)$$

اگر از مدار شکل (۱۴-۵) برای محاسبه استفاده شود، در این صورت باید در معادله (۵۴-۵) تغییرات زیرا انجام داد تا گشتاور مکانیکی حاصل شود:

- ۱ - به جای V_{th} از V_1 استفاده شود.
- ۲ - به جای R_{th} باید R_1 جایگزین گردد.
- ۳ - به جای X_{th} باید از X_1 استفاده گردد.

باید دانست اگر گشتاور مکانیکی توسط مدار معادل شکل (۱۴-۵) محاسبه شود، در این صورت ۵ درصد با گشتاور محاسبه شده توسط مدل‌های شکل (۱۵-۵) و شکل (۱۶-۵) تفاوت خواهد داشت. رابطه (۵۴-۵) مربوط به هر فاز موتور است. لذا اگر این رابطه سه برابر شود، کل گشتاور حاصله توسط موتور به دست می‌آید شکل (۱۷-۵) تغییرات گشتاور (کل گشتاور) بر حسب سرعت یا لغزش را نشان می‌دهد. در شرایط لغزش کم

داریم:

$$R_{th} + \frac{R'_{\tau}}{s} \gg X_{th} + X'_{\tau} \quad \text{و} \quad \frac{R'_{\tau}}{s} \gg R_{th}$$

پس:

$$T_{mech} \approx \frac{1}{\omega_{syn}} \frac{V_{th}^{\tau}}{R_{\tau}} s \quad (55-5)$$

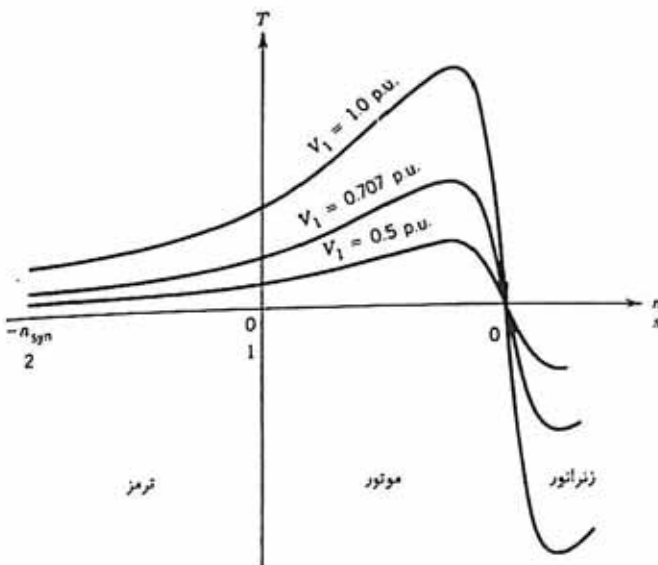
رابطه اخیر نشان می‌دهد که در لغزش کم تغییرات گشتاور نسبت به لغزش خطی است و در شکل (۱۷-۵) این تغییرات خطی در حول سرعت سنکرون مشهود است. اگر لغزش زیاد باشد داریم:

$$R_{th} + \frac{R'_{\tau}}{s} \ll X_{th} + X'_{\tau}$$

و:

$$T_{mech} \approx \frac{1}{\omega_{syn}} \frac{V_{th}^{\tau}}{(X_{th} + X'_{\tau})^{\tau}} \frac{R'_{\tau}}{s} \quad (56-5)$$

می‌بینیم در این ناحیه گشتاور با معکوس لغزش متناسب است و این امر در شکل (۱۷-۵) در حول ۱ درجه می‌باشد. از رابطه (۵۴-۵) در می‌بایم که گشتاور با متجذور V_{th} و بالمال V_1 متناسب است. شکل (۱۷-۵) منحنی



شکل ۱۷-۵ تغییرات گشتاور موتور القایی سه فاز بر حسب سرعت بالغزش در تحت ولتاژهای مختلف به این منحنی‌ها مشخصه‌های گشتاور سرعت یا گشتاور لغزش گفته می‌شود.

گشتاور سرعت یا گشتاور لغزش را در تحت ولتاژهای گوناگون نشان می‌دهد و به این منحنی‌ها، مشخصه‌های گشتاور سرعت^۱ یا گشتاور لغزش نیز گفته می‌شود. به این مشخصه‌ها به اختصار مشخصه $T - n$ یا مشخصه $T - \omega$ نیز اطلاق می‌شود. برای پی بردن به گشتاور ماکریم (گشتاور بیشینه یا گشتاور پر تگاهی)، این چنین عمل می‌کنیم:

$$dT/ds = 0$$

با توجه به رابطه (۵۴-۵) و اعمال شرط فوق داریم:

$$\frac{R'_\tau}{s_{T_{max}}} = [R'_{th} + (X_{th} + X'_\tau)^{\gamma}]^{1/\gamma} \quad (57-5)$$

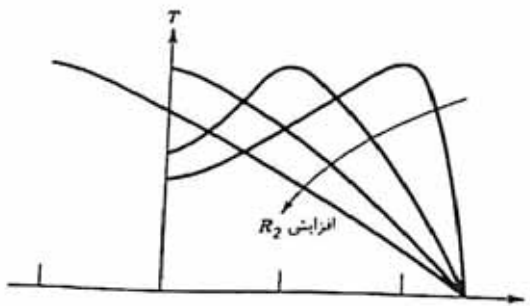
به سهولت داریم:

$$s_{T_{max}} = \frac{R'_\tau}{[R'_{th} + (X_{th} + X'_\tau)^{\gamma}]^{1/\gamma}} \quad (58-5)$$

از معادلات (۵۸-۵) و (۵۴-۵) داریم:

$$T_{max} = \frac{1}{\chi_{w_{syn}}} \frac{V'_{th}}{R'_{th} + [R'_{th} + (X_{th} + X'_\tau)^{\gamma}]^{1/\gamma}} \quad (59-5)$$

در روابط اخیر T_{max} قله مشخصه گشتاور سرعت یا گشتاور لغزش^۲ تحت ولتاژی مفروض بوده و $s_{T_{max}}$ لغزشی



شکل ۱۸-۵ اثر تغییرات مقاومت و تور بر مشخصه گشتاور سرعت یا گشتاور لغزش

است که تحت آن T_{max} رخ می‌دهد. وقت کنید که T_{max} در رابطه (۵۹-۵) مربوط به هر فاز موتور و برای پیدا کردن کل گشتاور مانعیم، باید رابطه (۵۹-۵) را به برابر نمود. با توجه به نکات فوق در می‌باشیم که:

الف: sT_{max} تابعی از مقاومت رتور است.

ب: T_{max} تابعی از مقاومت رتور نمی‌باشد.

لذا اگر مقاومت رتور را تغییر دهیم، مشخصه‌هایی همچون شکل (۱۸-۱) حاصل می‌شود. این امر در موتورهای با رتور سیم‌بندی شده میسر است، زیرا از طریق حلقه‌های لغزان می‌توان به هر فاز رotor ریستاتی متغیر افانه نمود و مقاومت رотор را تغییر داد. معمولاً رسم برآن است که مقاومت ریستاتی را طوری تنظیم می‌کنند که گشتاور سرعت ریستاتی را به تدریج از مدار خارج می‌کنند.

اگر مقاومت استاتور (R_1) کوچک باشد، لذا R_1 نیز ناجیز شده و از روابط (۵۸-۵) و (۵۹-۵) داریم:

$$S_{T_{max}} = \frac{R'_r}{X_{th} + X'_r} \quad (60-5)$$

$$T_{max} = \frac{1}{\gamma w_{syn}} \frac{V_{th}^2}{X_{th} + X'_r} \quad (61-5)$$

از روابط (۵۴-۵) و (۵۹-۵) داریم:

$$\frac{T_{max}}{T} = \frac{(R_{th} + R'_r/S)^{\gamma} + (X_{th} + X'_r)^{\gamma}}{(R_{th} + R'_r/S_{T_{max}})^{\gamma} + (X_{th} + X'_r)^{\gamma}} \frac{s}{S_{T_{max}}} \quad (62-5)$$

اگر R_1 و بالمال R_{th} ناجیز باشند، داریم:

$$\frac{T_{max}}{T} \approx \frac{(R'_r/S)^{\gamma} + (X_{th} + X'_r)^{\gamma}}{(R'_r/S_{T_{max}})^{\gamma} + (X_{th} + X'_r)^{\gamma}} \frac{s}{S_{T_{max}}} \quad (63-5)$$

از معادلات (۶۰-۵) و (۶۳-۵) داریم:

$$\frac{T_{max}}{T} = \frac{\left(\frac{R'_\tau}{s}\right)^* + \left(\frac{R'_\tau/s}{T_{max}}\right)^*}{\gamma \left(\frac{R'_\tau/s}{T_{max}}\right)^*} \times \frac{s}{s T_{max}} \quad (۶۴-۵)$$

$$= \frac{s^* T_{max} + s^*}{\gamma s T_{max} s}$$

باید دانست گشتاور T در لغزش s و گشتاور T_{max} در لغزش s_{Tmax} رخ می‌دهد. در حقیقت رابطه (۶۴-۵) گشتاور موتور را در شرایطی خاص با گشتاور ماکریم (بیشینه) مقایسه می‌کند.

جريان استاتور

از مدل شکل (۱۵-۵) امیدانس ورودی را به دست می‌آوریم.

$$Z' = R_1 + jX_1 + X_m // \left(\frac{R'_\tau}{s} + jX'_\tau \right) \quad (۶۵-۵)$$

$$= R_1 + jX_1 + X_m // Z'_\tau \quad (۶۵-۶)$$

$$= R_1 + jX_1 + \frac{jX_m(R'_\tau/s + jX'_\tau)}{R'_\tau/s + j(X_m + X'_\tau)} \quad (۶۵-۷)$$

$$= |Z_1| \angle \theta_1 \quad (۶۵-۸)$$

جريان استاتور به قرار زیر است (شکل ۱۵-۵).

$$I_1 = \frac{V_1}{Z_1} = I_\phi + I'_\tau \quad (۶۵-۹)$$

می‌دانیم محدوده لغزش موتور این چنین است

$$0 < s \leq 1$$

اگر فرض کنیم سرعت موتور همان سرعت سینکرون باشد (البته اینطور نیست)، در این صورت $s = 0$ بوده و R'_τ/s بی‌نهایت می‌شود. در نتیجه I'_τ صفر می‌گردد (شکل ۱۵-۵).

پس:

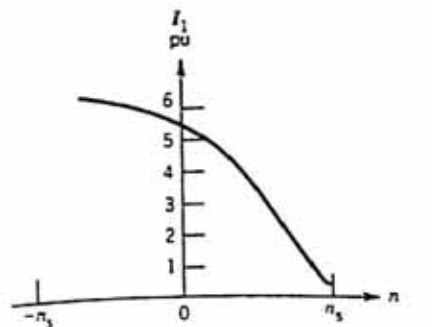
$$I_1 = I_\phi$$

هرچه لغزش بیشتر شود در این صورت $R'_\tau/s + jX'_\tau$ کمتر شده ولذا I_1 و I'_τ افزایش می‌شوند (شکل ۱۵-۵). در لحظه راهاندازی ($s = 0$) جريان استاتور که به جريان راهاندازی^۱ معروف است پنج تا هشت برابر جريان اسمی خواهد بود. شکل (۱۹-۵) تغییرات جريان استاتور بر حسب سرعت رانشان می‌دهد جريان در این شکل در سیستم یکایی (پریونیت) بيان شده است و جريان مبنای همان جريان اسمی موتور است.

ضریب توان ورودی

باتوجه به شکل (۱۵-۵) در می‌باییم که با تغییر لغزش موتور امیدانس‌های گوناگون از خود بروز می‌دهد ولذا زاویه بین V_1 و I'_τ تغییر می‌کند. شکل (۲۰-۵) تغییرات ضریب

۱- Starting current



شکل ۱۹-۵ تغییرات جریان استاتور
برحسب سرعت

توان^۱ (PF) برحسب سرعت را برای موتور القایی سه‌فاز نشان می‌دهد.

بازده (بهره)

برای پیدا کردن بازده در موتورهای القایی سه‌فاز، باید به تلفات ماشین بپرداز و بهتر است به نمودار پخش توان در موتور توجه کرد (شکل ۲۱-۵). در یک موتور القایی سه‌فاز توان ورودی به ماشین به قرار زیر است:

$$P_{in} = 3V_1 I_1 \cos\theta_1 \quad (۶۶-۵)$$

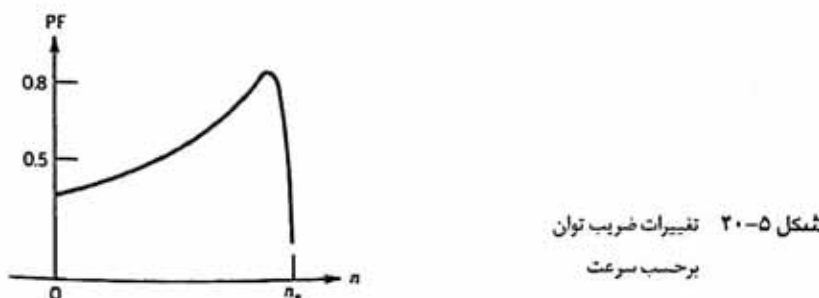
تلفات اهمی یا مسی استاتور بشرح زیر است.

$$P_1 = 3I_1^2 R_1 \quad (۶۷-۵)$$

R_1 مقاومت هر فاز استاتور با در نظر گرفتن اثر پوستی^۲ در درجه حرارت و فرکانس مورد نظر می‌باشد.^۳ استاتور حاوی تلفات هسته نیز می‌باشد که مجموع تلفات هیسترزیس و جریان گردابی است. لذا پس از آن که توان ورودی تلفات استاتور اعم از تلفات هسته و تلفات مسی را تأمین نمود، مابقی از فاصله هوایی می‌گذرد (شکل ۲۱-۵). به توان عبوری از فاصله هوایی P_{ag} اطلاق می‌کنیم. بخشی از P_{ag} به صورت گرمائوتلفات مسی در رотор هدر می‌رود، یعنی:

$$P_2 = 3I_2^2 R_2 \quad (۶۸-۵)$$

مقادیم هر فاز رotor است. در ماشین‌های رотор سیم‌بندی شده R_2 مجموع مقاومت هر فاز رotor

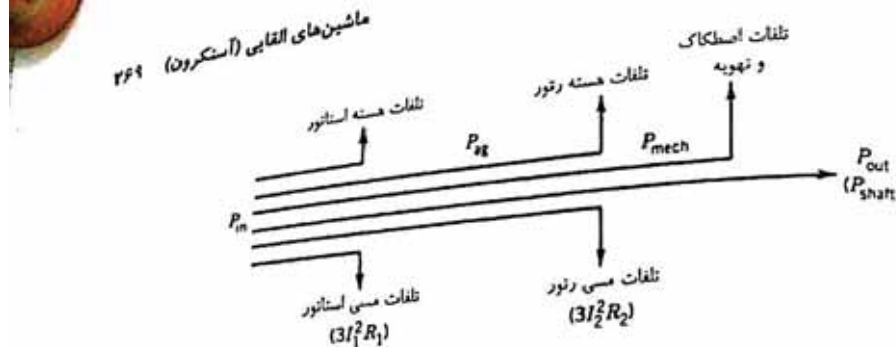


شکل ۲۰-۵ تغییرات ضریب توان
برحسب سرعت

۱- Power factor

۲- Skin Effect

۳- مقادیم A/C در فرکانس ۶۰ هرتز حدود ۲۰ درصد از مقادیم DC بیشتر است.



شکل ۲۱-۵ نمودار بخش توان در موتور القایی سه فاز

بنا بر این دو نتیجه متصلب به آنست. باید دانست بخش ناچیزی از P_{in} صرف تلفات هسته رotor می شود. این از انجامیکه فرکانس رتور در شرایط عادی کم است، تلفات هسته رتور نیز ناچیز می باشد و می توان در شرایط کار عادی از آن صرف نظر نمود.

بس از آن که P_{ag} تلفات رتور را تأمین نمود، الباقی به توان مکانیکی (P_{mech}) تبدیل می شود. بخشی از P_{mech} صرف تلفات اصطکاک و تهویه شده و مابقی به صورت توان مکانیکی خروجی (P_{out}) بروی محور ظاهر می شود. P_{out} توان مکانیکی مفید نیز نام دارد. به سهولت می توان بازده (بهره) را این چنین تعریف کرد:

$$Eff = \frac{P_{out}}{P_{in}} \quad (۶۶-۵)$$

بازده تابع لغزشی یا S است. اگر از کل تلفات به جز تلفات مسی رتور صرف نظر کنیم داریم:

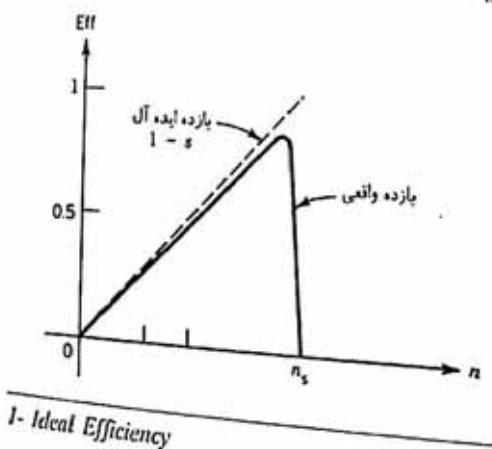
$$P_{ag} = P_{in}$$

$$P_{\tau} = sP_{ag}$$

$$P_{out} = P_{mech} = P_{ag} (1 - s)$$

لذا بازده ایده‌آل^۱ این چنین تعریف می شود.

$$Eff_{(ideal)} = \frac{P_{out}}{P_{in}} = 1 - s \quad (۷۰-۵)$$



شکل ۲۲-۵

تعییرات بازده بر حسب سرعت
در موتورهای القایی سه فاز

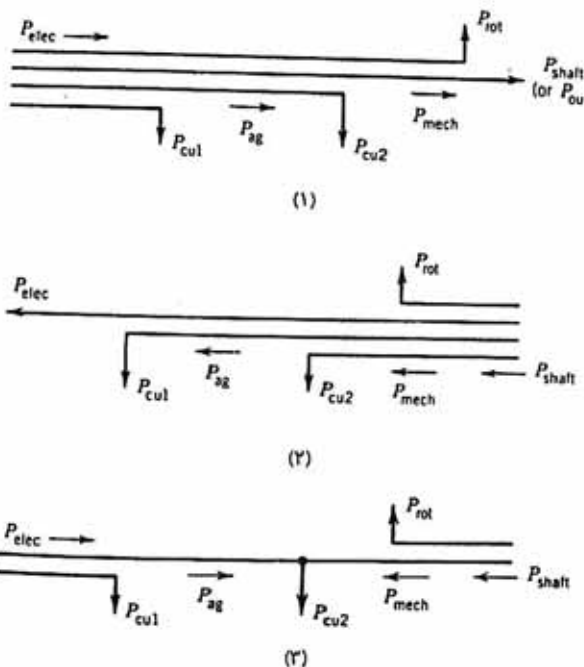
به بازده ایده‌آل گاهی بازده داخلی^۱ نیز گفته می‌شود، زیرا در این بازده نسبت توان خروجی و توان عبوری از فاصله هوایی (P_{bg}) مطرح است. شکل (۲۲-۵) تغییرات بازده بر حسب سرعت را برای موتورهای القایی نشان می‌دهد و در این شکل بازده ایده‌آل یا بازده داخلی نیز رسم شده است. واضح است که در صورت نیاز به بازده زیاد، موتور باید در حوالی سرعت سنکرون کار کند و لذا موتورها عمدها طوری طراحی می‌شوند که در حالت کار عادی دارای لغزش کوچک باشند. همچنین ملاحظه می‌شود در صورت در نظر گرفتن کل تلفات، بازده واقعی از بازده ایده‌آل کمتر است. معمولاً بازده موتورهای القایی سه‌فاز در شرایط اسمی حدود ۹۵ درصد است.

۵-۰-۱- نحوه پخش توان در ماشین‌های القایی در حالت‌های موتوری، ژنراتوری و ترمز

در پخش (۵-۵) دیدیم که ماشین القایی می‌تواند به صورت موتور یا ژنراتور کار کند و در ضمن در مرحله ترمز نیز مورد بپرهیزداری قرار گیرد. شکل (۱) و (۵-۵) نمودار پخش توان را در موتورهای القایی نشان می‌دهد و در حالت موتوری داریم:

$$0 < s \leq 1$$

مشاهده می‌شود که:



شکل ۲۳-۵ نمودار پخش توان برای ماشین‌های القایی ۱- موتور القایی ۲- ژنراتور القایی ۳- حالت ترمز

الف: توان الکتریکی از شبکه وارد موتور می‌شود (P_{elec}).

ب: بخشی از توان P_{elec} صرف تلفات اهمی یا مسی استاتور می‌گردد (P_{cu1}).

ج: تفاوت $P_{elec} - P_{cu1}$ از شکاف هوایی عبور کرده و وارد رتور می‌شود (P_{ag}).

د: بخشی از P_{ag} صرف تلفات مسی رتور می‌شود (P_{cu2}).

ه: تفاوت $P_{ag} - P_{cu2}$ به توان مکانیکی (P_{mech}) تبدیل می‌شود.

و: بخشی از P_{mech} صرف تلفات چرخشی P_{rot} می‌شود.

ز: تفاوت $P_{mech} - P_{rot}$ به صورت توان مکانیکی مفید برروی محور ظاهر می‌شود (P_{shaft}) یا (P_{out}) گفته شده است.

تفلات ثابت = مقداری ثابت = تلفات تهویه + تلفات اصطکاک + تلفات هسته استاتور = P_{rot}
شکل (۲ و ۵-۲۳) نمودار پخش توان در حالت ژنراتوری رانشان می‌دهد (ژنراتور القابی).
و داریم:

$$s < 0$$

مشاهده می‌شود که:

۱- توان ورودی به سیستم توان مکانیکی اعمالی به محور است (P_{shaft}).

۲- بخشی از (P_{shaft}) صرف تلفات چرخشی (P_{rot}) می‌گردد.

۳- مابه التفاوت P_{rot} و P_{shaft} به P_{mech} موسوم است.

۴- بخشی از P_{mech} صرف تأمین تلفات مسی رتور می‌گردد (P_{cu2}).

۵- مابقی P_{mech} از شکاف هوایی عبور می‌کند (P_{ag}) و به استاتور می‌رود.

۶- بخشی از P_{ag} صرف تأمین تلفات مسی استاتور می‌گردد (P_{cu1}).

۷- مابقی P_{ag} به صورت توان الکتریکی به شبکه تزریق می‌شود (P_{elec}).

در اینجا یادآوری می‌کنیم در حالت ژنراتوری نیز (P_{rot} (تلفات چرخشی)) از مجموع تلفات هسته استاتور و اصطکاک و تهویه حاصل می‌شود و به عنوان تلفات ثابت تلقی می‌گردد. گفتنی است:

الف: P_{mech} در حالت موتوری مبین تبدیل توان الکتریکی به مکانیکی است.

ب: P_{mech} در حالت ژنراتوری مبین تبدیل توان مکانیکی به الکتریکی می‌باشد.

از دیدگاه مدار معادل شکل (۵ و ۵-۱۲) داریم:

الف: در حالت موتوری $R_2/s - s - 1$ مشبّت است.

ب: در حالت ژنراتوری $R_2/s - s - 1$ منفی است.

لذا در حالت ژنراتوری $(R_2/s - s - 1)$ به عنوان یک منع انرژی عمل می‌کند، اما در حالت موتوری $R_2/(1-s)$ به

عنوان یک مصرف کننده انرژی عمل می‌نماید.

شکل (۳ و ۳-۲۵) نمودار پخش توان در حالت ترمز^۱ نشان می‌دهد. در حالت ترمز رتور در جهت خلاف میدان

گردان می‌چرخد و داریم:

$S > 1$

در این حالت دو توان ورودی به سیستم اعمال می‌گردد. (شکل ۳ و ۵-۲):

- ۱- توان ورودی از شبکه به استاتور (P_{elec}).
- ۲- توان ورودی مکانیکی اعمالی به محور (P_{shaft}).

گفتنی است که:

الف: بخشی از P_{elec} صرف تلفات مسی استاتور می‌شود (P_{cu1}).

ب: مابقی P_{elec} از شکاف هوایی رد شده و به P_{ag} موسوم است.

ج: P_{ag} به رتور می‌ریزد و بخشی از تلفات مسی رتور را تأمین می‌کند (P_{cu2}).

د: بخشی از P_{shaft} صرف تلفات چرخشی (P_{rot}) می‌گردد.

ه: مابقی P_{shaft} به P_{mech} موسوم است.

و: P_{mech} نیز بخشی دیگر از تلفات مسی رتور را تأمین می‌کند (P_{cu3}).

ز: در حالت ترمز از دو سمت توان به رتور می‌ریزد و تلفات مسی رتور (P_{cu4}) زیاد است.

با توجه به مدار معادل شکل (۵-۱۳) [۱] مقدار $R_2 = 5 \Omega$ منفی است و این مقاومت به عنوان یک منبع انرژی عمل می‌نماید که می‌تواند تلفات اهمی یا مسی رتور را در حالت ترمز هماند حالت زنگ انداخته تأمین کند.

مثال ۴-۵

یک موتور القایی سه فاز ۴۶۰ ولتی، ۴ قطبی و ۶۰ هرتزی مفروض است و مرعut اسمی آن ۱۱۴۰ نیو

در دقیقه (rpm) است. سایر مشخصات موتور که از نوع رتور سیم‌بندی شده است به قرار زیر می‌باشد

$$R_1 = 0.25 \text{ ohms}, \quad R'_1 = 0.12 \text{ ohms}$$

$$X_1 = X'_1 = 0.15 \text{ ohms}, \quad X_m = 30 \text{ ohms}$$

تلفات چرخشی (P_{rot}) معادل ۱۷۰۰ وات بوده و رتور از دو سمت اتصال کوتاه است.

الف: اگر موتور به ولتاژ اسمی وصل شود، جریان راهاندازی را پیدا کنید.

ب: گشتاور راهانداز چقدر است.

ج: لغزش در شرایط اسمی چیست.

د: جریان اسمی را حساب کنید.

ه: نسبت جریان راهاندازی به جریان اسمی چقدر است.

و: ضریب توان در شرایط اسمی چیست.

ز: گشتاور اسمی را حساب کنید.

ح: بازده کلی و بازده ایده‌آل (بازده داخلی) را به دست آورید.

ت: در چه لغزشی گشتاور ماکزیمم (بیشینه یا T_{max}) رخ می‌دهد

ی: گشتاور ماکزیمم (T_{max}) چقدر است.

ک: اگر بخواهیم T_{max} در لحظه راهاندازی رخ دهد، به هر فاز رتور از طریق حلقه‌های لزن جه متناسب مقاومت باید اضافه کنیم.

حل

الف: در لحظه راه اندازی ۱ = ۵ بوده و به سهولت داریم:

$$V_1 = \frac{450}{\sqrt{3}} = 260/\text{phase}$$

$$Z_1 = 0.12\Omega + j0.1\Omega + \frac{j30(0.12 + j0.1)}{0.12 + j30/0} = 1.08 \angle 66^\circ \Omega$$

$$I_{st} = \frac{260/\text{phase}}{1.08 \angle 66^\circ} = 240/9 \angle -66^\circ A$$

محاسبات فوق بر اساس مدل IEEE است.

ب: برآحتی داریم:

$$\omega_{syn} = \frac{1800}{60} \times 2\pi = 188/0 \text{ rad/sec}$$

$$V_{th} = \frac{260/\text{phase}(j30/0)}{(0.12\Omega + j30/0)} = 261/3 V$$

$$Z_{th} = \frac{j30(0.12\Omega + j0.1)}{0.12\Omega + j30/0} = 0.100 \angle 63/90^\circ$$

$$= 0.124 + j0.149$$

$$R_{th} = 0.124 \Omega$$

$$X_{th} = 0.149 \approx X_1$$

$$T_{st} = \frac{P_{ag}}{\omega_{syn}} = \frac{I_r' \times R_r'/s}{\omega_{syn}}$$

$$= \frac{3}{188/0} \frac{261/3^2}{(0.124 + 0.1)^2 + (0.149 + 0.1)^2} \times \frac{0.1}{1}$$

$$= \frac{3}{188/0} \times (241/2)^2 \times \frac{0.1}{1} = 185/2 N.m$$

ج: به سهولت داریم:

$$s = \frac{1800 - 1740}{1800} = 0.03333$$

د: با توجه به مدل IEEE و لغزش فوق داریم:

$$\frac{R_r'}{s} = \frac{0.1}{0.03333} = 6/0.1 \Omega$$

$$Z_1 = (0.12\Omega + j0.1\Omega) + \frac{(j30)(6/0.1 + j0.1)}{6/0.1 + j30/0}$$

$$= + / ۲۵ + j \cdot ۱ / ۰ + ۰ / ۵۹۸ + j ۱ / ۵۹۶ = ۶ / ۲۱۲۳ \angle ۱۹ / ۷۰^\circ \Omega$$

$$I_{FL} = \frac{۲۶۵ / ۶}{۶ / ۲۱۲۳ \angle ۱۹ / ۷۰^\circ} = ۴۲ / ۷۵۴ \angle - ۱۹ / ۷۰^\circ$$

ه: براحتی داریم:

$$\frac{I_{st}}{I_{FL}} = \frac{۲۶۵ / ۶}{۴۲ / ۷۵۴} = ۰ / ۷۵$$

و: به آسانی داریم:

$$(پس فاز) PF = \cos(۱۹ / ۷۰^\circ) = ۰ / ۹۴$$

ز: به آسانی داریم:

$$\begin{aligned} T &= \frac{\tau}{۱۸۸ / ۰} \frac{(۲۶۱ / ۳)^۲}{(۰ / ۲۴ + ۶ / ۰۱)^۲ + (۰ / ۴۹ + ۰ / ۰۵)^۲} \times ۶ / ۰۱ \\ &= \frac{\tau}{۱۸۸ / ۰} \times ۴۱ / ۲۹^۲ \times ۶ / ۰۱ = ۱۶۳ / ۱۱ N.m \end{aligned}$$

ح: به سهولت داریم:

$$P_{ag} = T\omega_{syn} = ۱۶۳ / ۱۱ \times ۱۸۸ / ۰ = ۳۰,۷۴۶ / ۲ W$$

$$P_T = sP_{ag} = + / ۰۳۳۳ \times ۳۰,۷۴۶ / ۲ = ۱۰۲۳ / ۹ W$$

$$P_{mech} = (۱ - + / ۰۳۳۳) ۳۰,۷۴۶ / ۲ = ۲۹,۷۲۲ / ۳ W$$

$$P_{out} = P_{mech} - P_{rot} = ۲۹,۷۲۲ / ۳ - ۱۷۰۰ = ۲۸,۰۲۲ / ۳ W$$

$$\begin{aligned} P_{input} &= \tau V I \cos \theta, \\ &= \tau \times ۲۶۵ / ۶ \times ۴۲ / ۷۵۴ \times + / ۹۴ = ۳۲۰۲۲ / ۴ W \end{aligned}$$

$$Eff_{motor} = \frac{۲۸,۰۲۲ / ۳}{۳۲۰۲۲ / ۴} \times ۱۰۰ = ۷۷,۸\%$$

$$Eff_{internal} = (۱ - s) = ۱ - + / ۰۳۳۳ = + / ۰,۹۶ \rightarrow ۹۶\%$$

ت: از رابطه (۵۸-۵) داریم:

$$S_{Tmax} = \frac{۰ / ۲}{[۰ / ۲۴^۲ + (۰ / ۴۹ + ۰ / ۰۵)^۲]^{۱/۲}} = \frac{۰ / ۲}{۱ / ۰۱۸۶} = ۰ / ۱۹۶۳$$

ی: از رابطه (۵۹-۵) داریم:

$$\begin{aligned} T_{max} &= \frac{\tau}{۲ \times ۱۸۸ / ۰} \times \left[\frac{۲۶۱ / ۳^۲}{۰ / ۲۴ + [۰ / ۲۴^۲ + (۰ / ۴۹ + ۰ / ۰۵)^۲]^{۱/۲}} \right] \\ &= ۴۳۱ / ۶۸ N.m \end{aligned}$$

$$\frac{T_{max}}{T_{FL}} = \frac{۴۳۱ / ۶۸}{۱۶۳ / ۱۱} = ۲ / ۶۰$$

که به راحتی داریم:

$$S_{Tmax} = 1 = \frac{R'_T + R'_{ext}}{\left[1/24^2 + (1/49 + 1/10) \right]^{1/2}} = \frac{R'_T + R'_{ext}}{1/186}$$

$$R'_{ext} = 1/186 - 1/2 = 1/186 \Omega/phase$$

نوبت کید که برای بخش‌های (الف) و (ب) لازم نیست از مدار معادل تونن استفاده شود. محاسبه می‌تواند بر بنای مدار معادل شکل (۱۵-۵) به ترتیب زیر انجام گیرد.

$$\begin{aligned} Z_1 &= R_1 + jX_1 + R_c + jX_c \\ &= 1/20 + j1/10 + 5/598 + j1/596 \end{aligned}$$

$$\begin{aligned} T &= \frac{\tau}{\omega_{syn}} I_1 R_c \\ &= \frac{3}{188/5} \times 42/754^2 \times 5/598 \\ &= 163 N.m \end{aligned}$$

مثال ۵-۵

یک موتور القایی سه فاز ۴۶۰ ولتی، ۶۰ هرتزی و ۶ قطبی موجود است و رتور آن از نوع سیم‌بندی شده است. این موتور با ثابت ۱۰۰ نیوتن متر را در سرعت ۱۱۴۰ دور در دقیقه می‌چرخاند. باید دانست در این شرایط رتور از هر دو سمت اتصال کوتاه شده است. اکنون می‌خواهیم باز فوق را با سرعت ۱۰۰۰ دور در دقیقه بچرخانیم. چه مقدار مقاومت باید به هر فاز رotor از طریق حلقه‌های لوزان اضافه نمود مقاومت رتور از ۲/۰ اهم در هر فاز بگیرید و از P_{Rot} صرف نظر کنید. نسبت دورهای استاتور به رotor را واحد فرض کنید.

حل

سرعت سنکرون به قرار زیر است:

$$n_s = \frac{120 \times 60}{6} = 1200 rpm$$

در سرعت ۱۱۴۰ دور در دقیقه داریم:

$$* \frac{n_s - n}{n_s} = \frac{1200 - 1140}{1200} = 0/05$$

در سرعت ۱۰۰۰ دور در دقیقه داریم:

$$s_2 = \frac{1200 - 1000}{1200} = 0/167$$

اُن مدار معادل موتور چنین استنباط می‌شود اگر R'_T/s در دو شرایط مختلف از پهراه‌داری یکسان باشد، جریان رotor (I_r) و جریان استاتور (I_s) در این دو حالت مشابه بوده و گشتاور حاصله در این دو شرایط مختلف نیز یکسان خواهد بود (معادله ۵۴-۵). همچنین اگر از P_{Rot} صرف نظر شود، گشتاور حاصله با گشتاور خروجی ۶

لما با گشتاور بار^۱ یکسان خواهد بود. اگر نسبت تبدیل استاتور به روتور واحد فرض شود. داریم:

$$\frac{R_2}{S_1} = \frac{R_2 + R_{ext}}{S_2}$$

$$\frac{0.12}{0.105} = \frac{0.12 + R_{ext}}{0.167}$$

$$R_{ext} = 0.468 \Omega/phase$$

مثال ۵-۶

یک موتور ۴۶۰ ولتی، ۶۰ هرتزی، چهار قطبی مفروض است و روتور آن از نوع قفس سنجابی می‌باشد سرعت اسمی موتور ۱۷۱۰ دور در دقیقه است جریان راهاندازی این موتور چهار برابر جریان اسمی می‌باشد
 الف: گشتاور راهانداز چند درصد گشتاور اسمی است.
 ب: در چه سرعت و لنزشی گشتاور ماکزیمم (بیشینه یا T_{max}) رخ می‌دهد.
 ج: T_{max} چند درصد گشتاور اسمی است.

حل

در این مساله پارامترهای ماشین داده نشده است

الف: سرعت سنتکرون به قرار زیر است:

$$n_s = \frac{120 \times 60}{4} = 1800 \text{ rpm}$$

لنزش در شرایط اسمی این چنین است:

$$S_{FL} = \frac{1800 - 1710}{1800} = 0.05$$

از رابطه (۱) و (۵-۵) داریم:

$$T = \frac{I_2^2 R_2}{\omega_{syn}} \propto \frac{I_2^2 R_2}{S}$$

پس:

$$\frac{T_{st}}{T_{FL}} = \left| \frac{I_{2(st)}}{I_{2(FL)}} \right|^2 S_{FL}$$

$$T_{st} = 5^2 \times 0.05 \times T_{FL} = 0.18 \cdot T_{FL}$$

ب: از معادله (۵-۵) داریم:

$$\frac{T_{st}}{T_{max}} = \frac{S_{T_{max}}}{1 + S_{T_{max}}}$$

$$\frac{T_{FL}}{T_{max}} = \frac{\sqrt{s_{T_{max}}} s_{FL}}{s_{T_{max}} + \sqrt{s_{FL}}}$$

پس:

$$\frac{T_{st}}{T_{FL}} = \frac{\sqrt{s_{T_{max}}} + \sqrt{s_{FL}}}{s_{FL} + s_{FL} \times \sqrt{s_{T_{max}}}}$$

$$1/\lambda = \frac{\sqrt{s_{T_{max}}} + 0.1002\Delta}{0.10\Delta + 0.10\Delta \times \sqrt{s_{T_{max}}}}$$

$$\sqrt{s_{T_{max}}} + 0.1002\Delta = 0.109 + 0.109\sqrt{s_{T_{max}}}$$

$$s_{T_{max}} = \left(\frac{0.1087\Delta}{0.191} \right)^2 = 0.31$$

$$(سرعت تحت گشتاور ماقربم) = 0.31 \times 1800 = 1242 \text{ rpm}$$

ج: از رابطه (۶۴-۵) داریم:

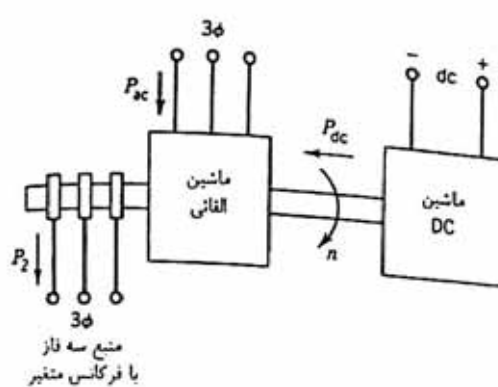
$$\begin{aligned} T_{max} &= \left| \frac{1 + \sqrt{s_{T_{max}}}}{\sqrt{s_{T_{max}}}} \right| T_{st} \\ &= \frac{1 + 0.31}{2 \times 0.31} \times 1/\lambda T_{FL} \\ &= 3/18 T_{FL} = 1.318 T_{FL} \end{aligned}$$

مثال ۷-۵

شکل (ت و ۷-۵) شماتیک سیستم را نشان می‌دهد که به عنوان یک تغییر دهنده فرکانس از آن استفاده می‌شود. سیستم شامل یک ماشین القایی و یک ماشین DC است و فرکانس متغیر از پایانه‌های رتور حاصل می‌گردد. ماشین القایی سه فاز ۶ قطبی، ۶۰ هرتزی و ۴۶۰ ولتی است و ولتاژ شبکه سه فاز نیز ۴۶۰ ولت با فرکانس ۶۰ هرتز می‌باشد. رتور ماشین القایی از نوع رتور سیم‌بندی شده بوده، و سه پایانه رتور به حلقه‌های لرزان بروی محور وصل است. می‌خواهیم فرکانس را در محدوده ۱۵ تا ۱۲۰ هرتز کنترل کنیم. فرکانس‌های ۱۵ و ۱۲۰ هرتز داشته باشیم.

ب: اگر در حالت سکون ولتاژ القاء شده در رتور مدار باز ۲۴۰ ولت باشد، ولتاژ القاء شده در رotor را در هنگامی که فرکانس خروجی ۱۵ و ۱۲۰ هرتز باشد حساب کنید.

ج: اگر از کلیه تلفات ماشین القایی صرف نظر کنیم، در فرکانس‌های ۱۵ و ۱۲۰ هرتز چه مقدار از توان خروجی (پایانه رتور) توسط منبع AC و چه مقدار توسط ماشین DC تأمین می‌شود.



شکل (ت و ۵)

حل

الف: برای $f_2 = ۱۵ HZ$ به قرار زیر است.

$$s = \pm \frac{f_2}{f_1} = \pm \frac{۱۵}{۶} = \pm \frac{۱}{۴}$$

سرعت سنکرون به قرار زیر است:

$$n_s = \frac{۱۲۰ \times ۶۰}{\epsilon} = ۱۲۰۰ \text{ rpm}$$

سرعت سیستم برای $f_2 = ۱۵ HZ$ به قرار زیر است.

$$\begin{aligned} n &= (1 \pm s)n_s = (1 \pm \frac{1}{4}) \times ۱۲۰۰ \\ &= ۹۰۰ \text{ و } ۱۵۰۰ \text{ rpm} \end{aligned}$$

برای $f_2 = ۱۲۰ HZ$ داریم:

$$s = \pm \frac{۱۲۰}{۶} = \pm ۲/۰$$

$$\begin{aligned} n &= (1 \pm 2/0) ۱۲۰۰ \\ &= -۱۲۰۰ \text{ و } ۳۶۰۰ \text{ rpm} \end{aligned}$$

ب: به سهولت داریم:

$$sE_2 = s \times ۲۴۰$$

$$f_2 = ۱۵ Hz, \quad sE_2 = ۶۰ V$$

$$f_2 = ۱۲۰ Hz, \quad sE_2 = ۴۸۰ V$$

ج: توان ورودی به سیستم از منبع سه فاز به قرار زیر است:

$$P_{ac} = P_{ag} = \frac{P_2}{s}$$

توان ورودی به ماشین القائی از طریق محور به قرار زیر است:

$$P_{dc} = -(1-s)P_{ag} = -\frac{(1-s)}{s} \times P_T$$

پایی $f_2 = 15 \text{ Hz}$ داریم:

$$P_{ac} = \frac{P_T}{+(1/\ell)} \text{ و } \frac{P_T}{-(1/\ell)} = +4P_T \text{ و } -4P_T$$

$$P_{dc} = \frac{-(1-(1/\ell))}{+(1/\ell)} P_T \text{ و } \frac{-(1+(1/\ell))}{-(1/\ell)} P_T \\ = -3P_T \text{ و } \Delta P_T$$

پایی $f_2 = 120 \text{ Hz}$ داریم:

$$P_{ac} = \frac{P_T}{+(2/\ell)} \text{ و } \frac{P_T}{-(2/\ell)} = +1/5P_T \text{ و } -1/5P_T$$

$$P_{dc} = \frac{-(1-2/\ell)}{+2/\ell} P_T \text{ و } \frac{-(1+2/\ell)}{-2/\ell} P_T \\ = +1/5P_T \text{ و } 1/5P_T$$

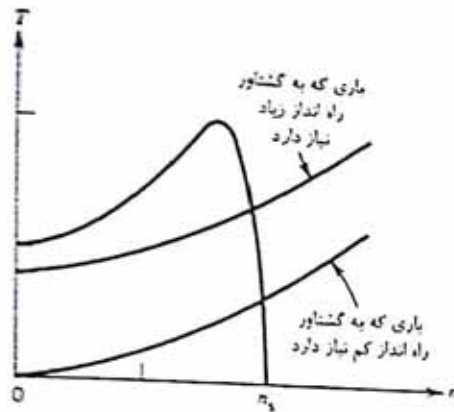
نتایج به طور خلاصه در جدول زیر آمده است.

f_2 Hz	rpm	نحوه عملکرد ماشین القابی	لغزش	sE_2 (ولت)	ورودی به استاتور P_{ac}	خروجی استاتور از طریق محور P_{dc}
15	900	موتور	+1/5	60	$4P_T$	$-3P_T$
	1500	ژنراتور	-1/5	60	$-4P_T$	$5P_T$
	-1200	ترمز	+2/5	480	$1/5P_T$	$1/5P_T$
	3600	ژنراتور	-2/5	480	$-1/5P_T$	$1/5P_T$

از آنجایی که همواره از سرعت‌های زیاد دوری می‌جوئیم، لذا دو سرعت ۹۰۰ و ۱۲۰۰ دور در دقیقه را در نظر می‌گیریم. سرعت ۹۰۰ دور در دقیقه معنی آن است که ماشین DC در چهت میدان گردان استاتور می‌چرخد. سرعت (-۱۲۰۰) دور در دقیقه بیانگر آن است که ماشین DC در خلاف چهت میدان گردان استاتور می‌چرخد.

۱۱-۵-اثر مقاومت رتور

در موتورهای القابی سه فاز قفس سنجابی متداول، عمدتاً در شرایط اسمی بالغزش کوچک و جریان اسکی کم روپرداختیم. بازده و ضریب توان این گونه موتورها در شرایط اسمی نسبتاً قابل ملاحظه است. در این گونه موتورها در لحظه راهاندازی باگشتاور و ضریب توان کم مواجه بوده، اما جریان در لحظه راهاندازی نسبتاً



شکل ۲۴-۵ مشخصه گشتاور سرعت موتور همراه با دو گشتاور بار مختلف

زیاد است. اگر بار مکانیکی گشتاور راه انداز قابل ملاحظه‌ای را طلب کند (شکل ۲۴-۵)، در این صورت شتاب^۱ موتور آرام بوده و جریان زیادی در طول مدت سرعت‌گیری از شبکه می‌کشد و بنابراین مسأله حرارتی جزو خواهد بود.

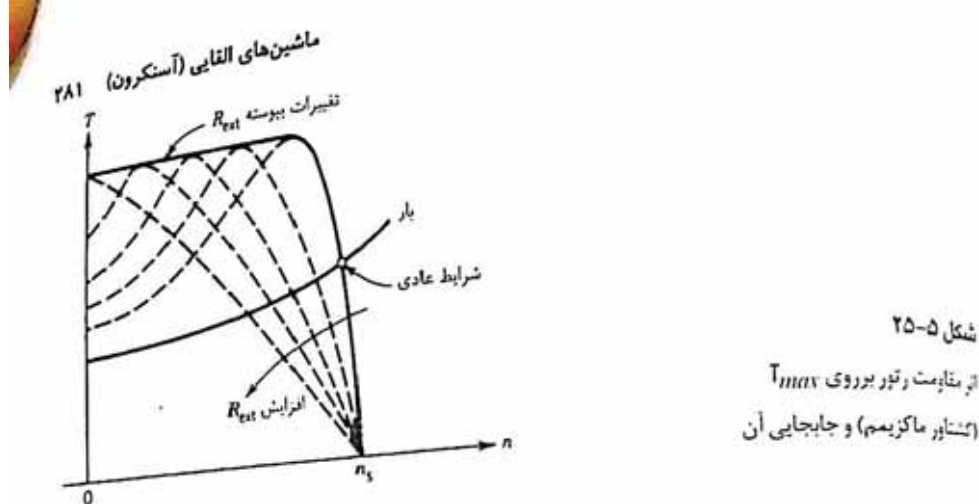
مقاومت رتور بر روی عملکرد موتور اثر قابل ملاحظه‌ای دارد. در شرایط کار عادی که لغزش کم است، مقاومت رتور نیز باید کم باشد تا بازده خوبی حاصل شود. در لحظه راه اندازی مقاومت رتور باید زیاد باشد تا گشتاور راه انداز و ضریب توان قابل ملاحظه گردد و جریان راه اندازی کم شود. موتورهای القابی که مقاومت رتورها ثابت است باید طوری طراحی شوند که مصالحه‌ای بین شرایط راه اندازی و کار عادی پیش آید. اما موتورهای القابی دیگری نیز وجود دارد که مقاومت رتور آنها متغیر است. در ذیل آنها را توضیح می‌دهیم:

۵-۱۱-۵- موتورهای القابی با رتور سیم‌بندی شده

در این موتورها می‌توان به هر فاز رتور از طریق حلقه‌های لغزان رنوستا متصل نمود (شکل ۱-۵۷). معادله (۵۸-۵) نشان می‌دهد که لغزش متناظر با گشتاور ماکریم (بیشینه یا T_{max}) به مقاومت رتور بستگی دارد. یعنی:

$$s_{T_{max}} \approx (R_{w\tau} + R_{ct}) \quad (71-5)$$

مقاومت هر فاز رتور $R_{w\tau}$ مقاومت هر فاز رنوستای متصل به رتور است. اگر به گشتاور راه انداز زیاد نیز داشته باشیم می‌توان R_{ct} را طوری تنظیم نمود که گشتاور ماکریم (بیشینه یا T_{max}) در لحظه راه اندازی نه دهد ($s_{T_{max}} = 1$). در ضمن شتاب گیری موتور بتدریج n را از مدار خارج می‌سازیم، تا بالاخره به نقطه کار عادی ماشین برسیم. شکل (۲۵-۵) اثر تغییر R_{ct} را بر روش گشتاور ماشین نشان میدهد: شtle کار ماشین! محل تلاقي گشتاور ماشین و گشتاور بار حاصل می‌شود. باید دانست قله منحنی گشتاور موتور (۷۱-۵) به



شکل ۲۵-۵

از تأثیر تغییر بیوسته
گشتاور ماکریسم و جایجاپی آن

متناهیت رتور بستگی ندارد و عددیست ثابت، اما با تغییر مقاومت رتور جایجاپی شود. در خانمه راهاندازی و مرحله کار عادی ماشین، R_{ext} از مدار بیرون می‌رود و رتور با مقاومت کم خود به کار ادامه می‌دهد. لذا ماشین بالغش کم و بازده زیاد به گردش ادامه خواهد داد.

باقیجه به شکل (۲۵-۵) می‌توان به نقاط تلاقی متفاوتی دست یافت. منظور از نقاط تلاقی محل برخورد منحنی گشتاور ماشین و گشتاور بار است. لذا با تغییر R_{ext} می‌توان به سرعت‌های گوناگونه دست یافت. این روش یکی از روش‌های کنترل سرعت^۱ در موتورهای القایی است و بعداً درباره آن بحث می‌کنیم.

۱-۱۱-۲- موتورهای القایی قفس سنجابی با میله‌های عمیق^۲

می‌دانیم در حالت سکون (راهاندازی) فرکانس رتور به قرار زیر است:

$$(فرکانس شبکه) = f_2 = f_1$$

فرکانس رتور در حالت چرخش محور به قرار زیر است:

$$f_2 = 5f_1$$

اگر $f_1 = 60\text{ Hz}$ باشد و لغش^(۲) کم باشد، در این صورت f_2 حدود یک تاسه هرتز خواهد بود. از این خاصیت یعنی تغییرات f_2 لحظه راهاندازی تا شرایط کاری عادی می‌توان استفاده کرد تا مقاومت رتور به طور آنومانیک تغییر کند. میله‌های رتور را می‌توان طوری طراحی کرد که مقاومت مؤثر آنها در فرکانس ۶۰ هرتز چندین برابر مقاومت مؤثر میله‌ها در فرکانس ۳ هرتز باشد. این امر با خاطر پیدیده اثر پوستی^۳ امکان پذیر است. شکل (۱) و (۲۶-۵) یک میله عمیق نازک مربوط به رotor قفس سنجابی را که دورن شیار قرار گرفته نشان می‌دهد. در این شکل شار نشستی شیار که توسط جریان میله پدید می‌آید نشان داده شده است. بر واضح است که اندوکتانس لایه‌های تحتانی میله عمیق بیش از اندوکتانس لایه‌های فوقانی خواهد بود. علت این امر آن است که شار پیوندی (شار دور^(۴)) بیشتری لایه‌های تحتانی را در بر می‌گیرد. نتیجه آن که جریان در لایه‌های تحتانی با راکتانس زیاد، کمتر از جریان در لایه‌های فوقانی با راکتانس کم است. این بدان معنی است که جریان

سنجابی با میله‌های عمیق جهت مقایسه نشان داده شده است.

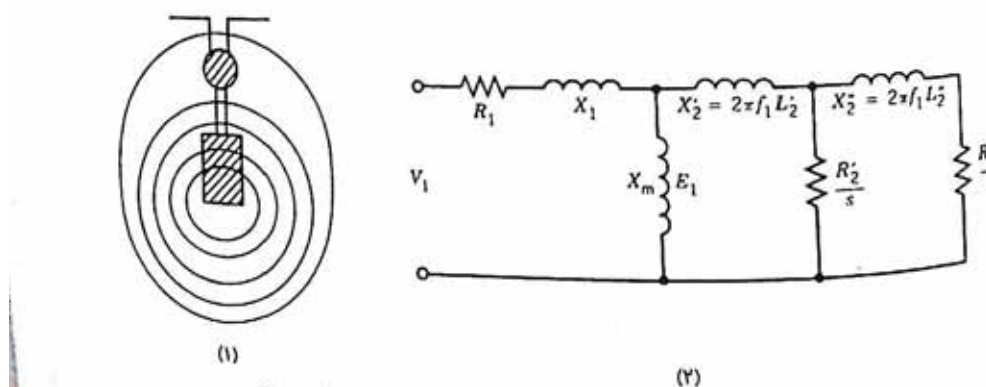
۵-۱۱-۳- رتورهای قفس سنجابی مضاعف (دوبل)^۱

اگر بخواهیم گشتاور راهانداز زیاد و جریان راهانداز کم باشد، می‌توان از رتورهای قفس سنجابی مضاعف (دوبل) از دو قفس تشکیل شده‌اند

- ۱- قفس بیرونی یا قفس خارجی یا قفس فوقانی^۲
- ۲- قفس دورنی یا قفس داخلی یا قفس تحتانی^۳

شکل (۱ و ۲) شمای میله‌های این دو قفس را در یک شیار نشان می‌دهد و باید گفت میله‌های هر دو قفس از دو انتهای بوسیله حلقه‌های انتهایی^۴ اتصال کوتاه شده‌اند. لازم به تذکر است که:

- ۱- سطح مقطع قفس بیرونی از سطح مقطع قفس دورنی کمتر است.
- ۲- مقاومت ویژه^۵ ماده قفس بیرونی از مقاومت ویژه ماده قفس دورنی بیشتر است.
- ۳- با توجه به بندهای (۱ و ۲) مقاومت قفس بیرونی از مقاومت قفس دورنی بیشتر است.
- ۴- با پاریک کردن شیار بین دو قفس، راکتانس نشتی قفس دورنی نسبت به قفس بیرونی بیشتر می‌شود. در لحظه راهاندازی بخش اعظم جریان رتور از قفس بیرونی می‌گذرد. لذا مقاومت مؤثر رتور افزایش می‌باید. در شرایط کار عادی که فرکانس رتور کم است، راکتانس قابل صرف نظر کردن است و جریان از هر دو قفس موازی می‌گذرد. در حقیقت مقاومت رتور برابر مقاومت معادل دو قفس موازی است. لذا دوباره باید سیستم با مقاومت متغیر روبرو هستیم. باید گفت در موتورهای قفس سنجابی با میله‌های عمیق یا قفس سنجابی مضاعف، مقاومت مؤثر و راکتانس نشتی رotor با فرکانس تغییر می‌کند. شکل (۲ و ۲۷-۵) مدار معادل موتور القابی قفس سنجابی مضاعف را نشان می‌دهد. که:
- ۱- آندوکتانس نشتی هر فاز قفس بیرونی است.



شکل ۲۷-۵ رتور قفس سنجابی مضاعف و مدار معادل موتور القابی سه فاز

۱ - Double Cage
۴ - End Rings

۲ - Upper or Outer Cage
۵ - Depth

۳ - Lower or Inner Cage

- ۲ "I₂" اندوکتانس نشتی هر فاز قفس دورنی می‌باشد.
 - ۳ R_2' مقاومت هر فاز قفس خارجی است.
 - ۴ R_2'' مقاومت هر فاز قفس داخلی است.
- کمیت‌های فوق تابع فرکانس رتور (f_r) هستند. موتورهای قفس سنجابی با میله‌های عمیق یا قفس سنجابی مضاعف (دوبل) رامی‌توان طوری طراحی نمود که در شرایط راهاندازی و کار عادی عملکرد خوبی داشته باشد. این امتیاز از تغییر مقاومت رتور ناشی می‌شود. البته این تغییر مقاومت همانند رتورهای سیم‌بندی شده قبل انعطاف نمی‌باشد. باید دانست اگر شرایط راهاندازی خیلی حاد باشد بهتر است از رتور سیم‌بندی شده استفاده شود.

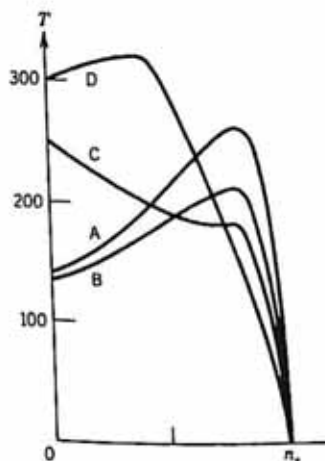
۱۲-۵-طبقه‌بندی موتورهای القایی قفس سنجابی

معمول‌اً در صنعت بابارهای مکانیکی گوناگون روبرو هستیم، برای ایجاد محیطی مناسب برای راهاندازی و کار عادی این بارهای مکانیکی، انواع طرحهای مختلف از موتورهای قفس سنجابی به بازار عرضه شده است. سازندگان طبق استاندارد $NEMA^1$ ، موتورهای قفس سنجابی را در چهار کلاس D, C, B, A می‌سازند. شکل (۲۸-۵) مشخصه گشتاور سرعت را در این چهار کلاس نشان می‌دهد. تفاوت عمدی در طراحی موتورهای قفس سنجابی در این چهار کلاس همان نحوه تغییر مقاومت مدار رتور است.

مotaورهای کلاس A

موتورهایی که در این کلاس طراحی می‌شوند دارای خواص زیراند:

- ۱ گشتاور راهاندازی آنها عادی است.
- ۲ جریان راهاندازی آنها زیاد است.
- ۳ در شرایط کار عادی لغزش کم است.



شکل ۲۸-۵ مشخصه‌های گشتاور سرعت
مotaورهای کلاس D, C, B, A

- ۴. مقاومت رتورکم است ولذا در لغزش کم ($100 < \tau < 1000$) بازده نسبتاً خوب است.
- ۵. از این موتورها در شرایطی که گشتاور بار به گشتاور راهانداز کم فیاز دارد استفاده می‌شود. این گونه بارها برای اثبات می‌گیرند و مساله حرارتی پیش نمی‌آید.
- ۶. دیماشین‌های بزرگ کلاس ارماشین راتحت ولتاژ کمتر از ولتاژ اسمی راهاندازی می‌کنند.
- ۷. مشخصه گشتاور سرعت این موتورها در شکل (۲۸-۵) نشان داده شده است.

موتورهای کلاس B

مشخصه گشتاور سرعت این موتورها در شکل (۲۸-۵) آمده است. در این موتورها می‌توان به نکات ذیل توجه کرد:

- ۱. گشتاور راهاندازی این موتورها شبیه موتورهای کلاس A است.
- ۲. جریان راهاندازی در این موتورها، 75 درصد موتورهای کلاس A است.

علت کاهش جریان راهاندازی نحوه طراحی میله‌های عمیق یا قفس مضاعف با راکتans‌های نشتی زیاد است. باید دانست که راکتans نشتی زیاد گشتاور ماکریم (بیشینه یا T_{max}) را کاهش می‌دهد. لغزش و بازده در شرایط اسمی در این گونه موتورها تقریباً مشابه کلاس A است. موتورهای کلاس B کاربرد وسیعی در صنعت دارند.

موتورهای کلاس C

مشخصه گشتاور سرعت این موتورها در شکل (۲۸-۵) آمده است. در این موتورها داریم:

- ۱. گشتاور راهاندازی این موتورها زیاد است.
- ۲. جریان راهاندازی این موتورها نسبتاً کم است.

در این موتورها از رتور قفس سنجابی مضاعف استفاده می‌شود و مقاومت رتور بیش از کلاس B است. در شرایط اسمی لغزش این گونه موتورها بیش از کلاس‌های A، B بوده و بازده نسبت به کلاس‌های A، B کمتر است.

موتورهای کلاس D

مشخصه گشتاور سرعت این موتورها در شکل (۲۸-۵) نشان داده شده است. این موتورها دارای خواص زیراند:

- ۱. گشتاور راهاندازی این موتورها زیاد است.
- ۲. جریان راهاندازی این موتورها کم است.
- ۳. در شرایط کار عادی لغزش نسبتاً بزرگ است.
- ۴. در این موتورها میله‌های رتور قفس سنجابی مسی نبوده بلکه برنزی است.
- ۵. در این موتورها گشتاور ماکریم (بیشینه یا T_{max}) در لغزش 50 درصد حاصل می‌شود.
- ۶. لغزش اسمی این موتورها بین 8 تا 15 درصد بوده و لذا بازده این ماشین‌ها کم است.

۷- در این موتورها، تلفات اهمی رتور نسبتاً زیاد است، لذا موتورها حجمی و گران هستند.

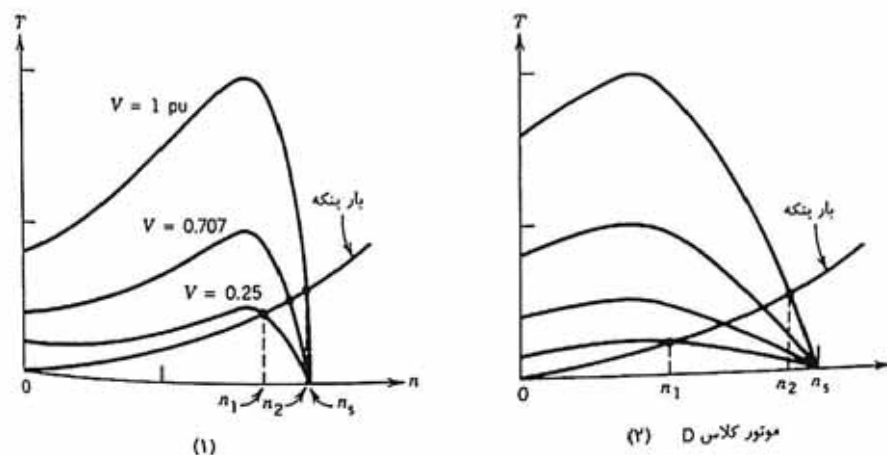
۱۳-۵-کنترل سرعت

اگر موتور القایی سه فاز به شبکه‌ای با ولتاژ و فرکانس ثابت وصل شود، در این صورت پس از راهاندازی در سرعتی حوالی سرعت سنکرون خواهد چرخید. گفتنی است با افزایش گشتاور بار سرعت به میزان کم کاهش می‌یابد. لذا این موتورها تقریباً از نوع موتورهای سرعت ثابت^۱ فرض می‌شوند. اما در برخی از صنایع لازم است که سرعت موتور در یک محدوده و طیف نسبتاً وسیعی تغییر کند. موتورهای DC به طور سنتی برای مواردیکه کنترل سرعت مورد نیاز است مورد بحث برداری قرار می‌گیرند. اما موتورهای DC گران بوده و به تعییرات و نگاه داری در زمینه کمotaتور و جاروبک نیاز دارد. ولی بر عکس موتورهای القایی بویژه نوع قفس سنجابی آن ارزان و چون سخت بوده و کمotaتور نیز ندارد و لذا برای سرعت‌های زیاد بسیار مناسب‌اند. امروزه با پیشرفت علم الکترونیک قدرت^۲ و پیدایش کنترل کننده‌های حالت جامد^۳، کنترل سرعت یا کنترل دور موتورهای القایی را به تکامل است. اما این کنترل کننده‌ها نسبتاً گران بوده و زمان می‌طلبد تا به صورت ارزان در دسترس عموم قرار بگیرد. در این بخش چند روش کنترل سرعت مورد توجه قرار می‌گیرد.

۱-۱۳-۵-تغییر قطب‌ها^۴

می‌دانیم سرعت موتور خیلی به سرعت سنکرون نزدیک است و داریم:

$$n_s = \frac{120f}{P}$$



شکل ۲۹-۵ مشخصه گشتاور سرعت تحت ولتاژهای گوناگون

نیز (ابعد سنکرون) را تغییر دهیم، سرعت چرخش موتور (محور) نیز تغییر می‌نماید. برای تغییر^{۱۱} میزان^{۱۲} تغییر تعداد قطب‌ها استفاده نمود (چرا؟). این امر توسط تغییر اتصالات کلافهای استاتور امکان پذیر است. معمولاً تغییر تعداد قطب‌ها از نسبت ۲ به ۱ تعیت می‌کند. ولذا در این روش دو سرعت سنکرون نسبت داخل می‌گردد. گفتنی است در برخی از موتورها استاتور دارای دو سیم بیج سه فاز جداگانه و مستقل است؛ هر کدام دو سرعت سنکرون ممکن‌سازند. پس با چهار سرعت سنکرون مواجه خواهیم بود. در پی‌هدی سیستمی شده در هنگام تغییر تعداد قطب‌های استاتور، باید آرایش سیم بیج رتور را تغییر داد و قطب‌های تعداد قطب‌های رتور و استاتور یکسان باشد. اما موتور قفس سنجابی کار ماشین کماکان فقط با تغییر قطب‌های استاتور ادامه خواهد یافت و به تغییر بافت رتور نیاز نداریم. با تغییر تعداد قطب‌های استاتور، سرعت به حالت پله‌ای تغییر می‌کند و این گونه موتورهای سه فاز عمده‌تر اگر هستند.

۱-۱۲- کنترل ولتاژ

از مباحث قبل در این فصل در یافته‌یم که گشتاور موتور الثایی سه فاز با مجدور ولتاژ مناسب است. شکل ۱۱ و ۱۲) مشخصه‌های گشتاور سرعت موتور القابی سه فاز را تحت ولتاژهای گوناگون نشان می‌دهد. با این مبنی بر یک پنکه^{۱۳} است. با توجه به شکل ۱۱ و ۱۲) با تغییر ولتاژ اعمال به استاتور می‌توان پنکه را در سه‌تنه‌ی^{۱۴} تا^{۱۵} ۰.۷ چرخاند. شکل ۱۲) مشخصه‌های گشتاور سرعت یک موتور کلاس D قفس سنجابی را تحت ولتاژهای گوناگون نشان می‌دهد و مشاهده می‌شود در طیف وسیعی کنترل سرعت امکان پذیر است. در این دو شکل محل تلاقی مشخصه‌های گشتاور سرعت و گشتاور بار، نقطه کار^{۱۶} را مشخص می‌سازد. تغییر ولتاژ پایانه استاتور می‌تواند توسط اوتوفسفور ماتور با خروجی متغیر انجام گیرد. (شکل ۱۱) آنکه دیگر از روش‌های تغییر ولتاژ استفاده از کنترل کننده‌های حالت جامد یا الکترونیکی است (شکل ۱۲-۱۳)، اوتوفسفور ماتور به ماشین ولتاژ سینوسی اعمال می‌کند، اما کنترل کننده‌های حالت جامد ولتاژ غیر سینوسی برای موتور فراهم می‌نمایند. در ماشین‌های کوچک می‌توان مستقیماً آربابه کنترل کننده حالت جامد گهی یک کنترل کننده تریستوری است متحمل نمود. اما در موتورهای بزرگ بین کنترل کننده تریستوری و موتور پایند صافی^{۱۷} قرار دارد، زیرا در غیر این صورت جریان‌های باهارمندک بالا در خط تقدیم موتور برآمده شده‌اند. قنطره کننده تریستوری (شکل ۱۲ و ۱۳) ریگنال فرمان^{۱۸} برای سرعت خاص از پیش تنظیم شده‌اند. تریستورها را در زاویه خاص^{۱۹} آتش می‌کنند (روشن می‌نمایند)، تا ولتاژ مفروضی برای پایانه موتور حسائل گردد. به همین‌جهت آتش^{۲۰} گفته می‌شود. اگر ریگنال فرمان سرعت عوض شود، زاویه آتش تریستورها^(۲۱) تغییر کرده و ولتاژ جدیدی به موتور اعمال می‌گردد، بالنتیجه به سرعت جدیدی می‌رسیم. اگر کنترل سرعت تحقیق در مدد نظر باشد، سیستم کنترل حلقه^{۲۲} باز (شکل ۱۲ و ۱۳) در برخی از کاربردها ارضاء کننده نیست. شکل ۱۲ و ۱۳) یک سیستم کنترل ولتاژ تریستوری با حلقه باسته^{۲۳} راشان می‌دهد. گیریم به علی‌سرعت موتور ثابت کنند، در این حالت تفاصل بین سرعت مرجع (n_{set}) و سرعت واقعی موتور (n) باعث تغییر زاویه

۱ - Fan

۴ - Command Signal
۷ - Closed Loop

2 - Operating Point

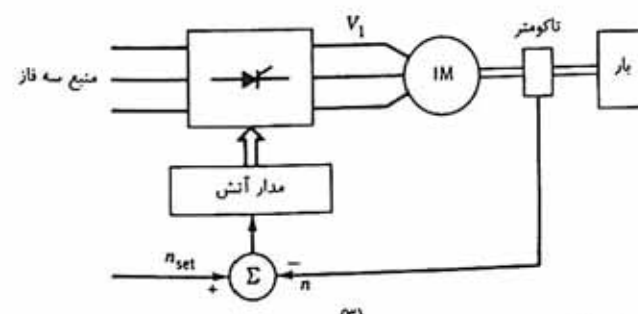
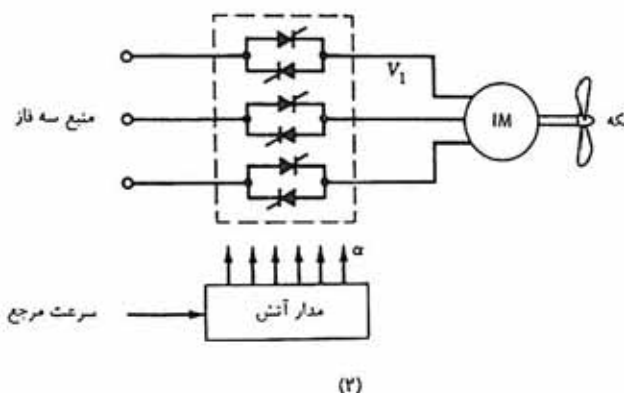
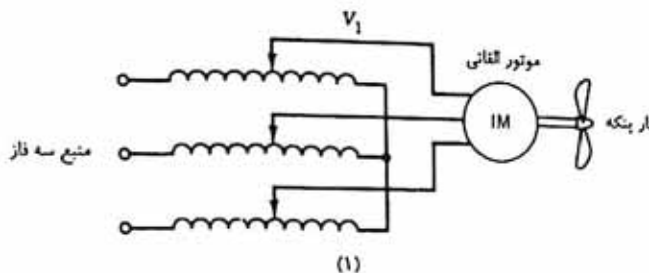
3 - Filter

آتش تریستورها (α) می‌گردد. بانتیجه ولتاژ پایانه ماشین افزایش می‌یابد. این امر باعث فزونی گشتاور شده و سرعت به مقدار قبل از اغتشاش خواهد رسید.

۱۳-۳-۵-کنترل فرکانس

می‌دانیم سرعت سنکرون به قرار زیر است و سرعت موتور (n) در حوالی سرعت سنکرون می‌باشد

$$n_s = \frac{120f}{P}$$



شکل ۳۰-۵ نحوه اعمال ولتاژ به استاتور-۱-توسط اوتوفرانسفورماتور-۲-توسط کنترل کننده حالت جامد (تریستوری) با حلته
باز-۳-توسط کنترل کننده حالت جامد (تریستوری) با حلته بسته

یکی از راههای تغییر f و بالمال V ، تغییر فرکانس منبع تغذیه است. لذا به یک تغییر دهنده فرکانس 1 در سر ژله موتور نیاز داریم. شکل (۳۱-۵) نمودار جعبه‌ای 2 یک سیستم کنترل حلقه‌باز را نشان می‌دهد که فرکانس منبع تغذیه موتور را تغییر خواهد داد. این سیستم شامل یک یکسوساز 3 کنترل شده AC/DC بوده و از عناصر زیمه‌هادی تشکیل شده است. علاوه بر یکسوساز، این سیستم حاوی یک اینورتور 4 DC/AC می‌باشد و اینورتور نیز از عناصر نیمه‌هادی تشکیل گردیده است. مادر اینجا درباره ساختمان درونی این سیستم‌ها که در فصل ۱۰ مورد بحث قرار می‌گیرد صحبت نمی‌کنیم، بلکه به طور خلاصه می‌گوئیم که:

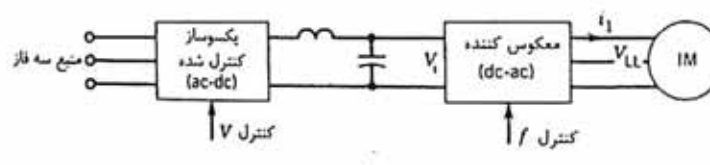
- ۱- یکسوساز ولتاژ سه فاز AC را به ولتاژ DC تبدیل می‌کند.
- ۲- اینورتور ولتاژ DC را به ولتاژ AC با فرکانس جدید تبدیل می‌نماید.

به سپرلت از رابطه (۲۷-۵) داریم:

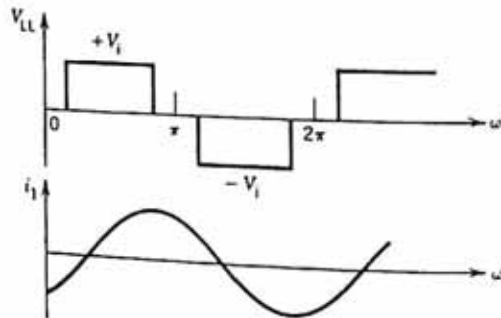
$$\Phi_p \propto \frac{E}{f} \quad (72-5)$$

اگر در شکل (۳۱-۵) ازافت ولتاژ دردو سر 1 و X_1 صرف نظر کنیم در این صورت $E_1 = V_1$ شده و داریم:

$$\Phi_p \propto \frac{V}{f} \quad (73-5)$$



(۱)



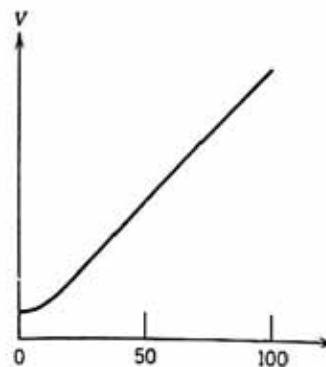
(۲)

شکل ۳۱-۵ مدار کنترل حلقه‌باز چهت کنترل سرعت موتور القابی. در این سیستم ولتاژ و فرکانس موتور قابل کنترل است.

1 - Frequency Changer
4 - Invertor

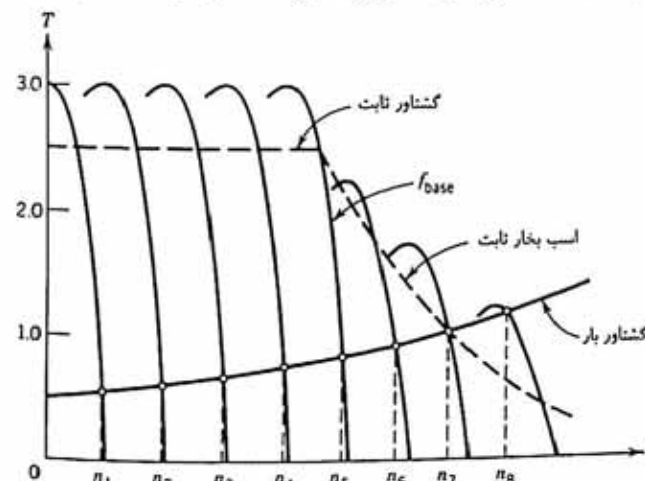
2 - Block Diagram

3- Controlled Rectifier



شکل ۳۲-۵ ولتاژ مورد نیاز در قبال تغییرات
فرکانس جهت تأمین چگالی شار
ثابت در شکاف هوایی

لذا برای پرهیز از اشباع زیاد در سیستم مغناطیسی باید ولتاژ پایانه موتور متناسب با فرکانس تغییر نماید. این نحوه کنترل را f/V ثابت نام نهاده‌اند. در اینجا باید گفت در فرکانس‌های پائین افت ولتاژ در دو سر R_1 و X_1 در شکل (۳۲-۵) در مقابل V/f قابل صرف نظر نیست و لذا دیگر رابطه (۷۳-۵) معتبر نمی‌باشد. لذا برای تأمین و برقراری چگالی شار مشابه، نسبت f/V در فرکانس‌های پائین افزایش داده می‌شود. شکل (۳۲-۵) تغییرات مورد نیاز ولتاژ بر حسب فرکانس را نشان می‌دهد. در شکل (۳۲-۵) ولتاژ موتور را می‌توان تغییر داد، بشرطی که ولتاژ ورودی به اینورتور (V_i) تغییر کند. تغییر V_i بوسیله تغییر زاویه آتش یکسوساز کنترل شده امکان پذیر است. گفتنی است اگر ولتاژ خروجی اینورتور بتواند توسط خود اینورتور تغییر کند (اینورتورهای PWM یا مدولاسیون پنهانی بالس^۱، در این صورت یکسوساز کنترل شده را می‌توان با یکسوساز دیود^۲ جایگزین نمود. در این حالت V_i ثابت مانده و خروجی اینورتور توسط خود اینورتور تغییر می‌کند. شکل (۳۲-۵) مشخصه گشتاور سرعت موتور القایی سه فاز را در تحت فرکانس‌های متغیر نشان



شکل ۳۳-۵ ولتاژ مورد نیاز در قبال تغییرات فرکانس جهت تأمین چگالی شار ثابت در شکاف هوایی